

クロロフィル蛍光を利用したアマノリ類の ストレス応答測定とその可能性

渡邉 裕基

アマノリ類は、紅藻ウシケノリ科アマノリ属 (Pyropia) に属する藻類で、内湾の汽水域から外界に面した沿岸まで、 広く分布している。また、食用として天然物が採取される とともに、日本、韓国、中国などでは大規模な養殖が行わ れ、主に板海苔などに加工がされている(菊地 2012)。アマ ノリ類の生理生態に関する研究は1950年代から60年代に かけて多く報告されており、そこで得られた至適な生育条件 等の知見は養殖技術の確立に大きく貢献してきた(Iwasaki 1961, 右田 1964, 1966, Dring 1967, Satomi et al. 1968, Miura 1988, 菊地 2012)。しかし、このような養殖技術の 確立後の研究はほとんど報告されていない。そこで筆者ら は、海藻類に対する光合成測定の手法として、新たに導入が 試みられているパルス変調クロロフィル蛍光測定法 (pulseamplitude-modulated fluorometry, PAM) という手法を用 いて、ストレス応答のモニタリング指標の確立を目的とした 研究を行ってきた。大型海藻を対象とした光合成研究では, プロダクトメーターや酸素電極, Dissolved Oxygen (DO) メーターなどを用いて、光合成による酸素発生量や呼吸消費 量を測定した研究が多く報告され(横浜・前川 1988, 村瀬 ら 1993, 芹澤ら 2001), これらの知見は, 至適な生育環境 の把握のみならず, 一次生産量の推定や, 養殖技術の発展な ど、様々な分野で貢献してきた。一方、PAM はクロロフィ ル蛍光を利用する測定法であり、藻体を非破壊的かつ迅速に

測定が可能なだけでなく、陸上・水中などのフィールドにおいても測定が可能であることから、陸上植物の他、藻類と共生したサンゴや海産種子植物など、様々な光合成生物を対象とした研究で活用されている(Winters et al. 2003、Campbell et al. 2006、Watanabe et al. 2014b)。PAM を利用した測定では、光合成の最大量子収率を示す F_{ν}/F_{m} というパラメータが比較的頻繁に使用されている。詳しい原理については、本稿では省略するが、この測定は、光化学系 II に光エネルギーを与えた際に、光化学反応に利用されないエネルギーが熱ならびに蛍光エネルギーとして放出されることを利用したものである。このパラメータは測定が簡便なため広く使用されており、光化学系 II の機能低下の指標として、主にストレス応答の研究などにおいて使用されている(園池2009)。本稿では、この手法を用いた筆者らによる研究と、その他の研究例を紹介したい。

アマノリの異型世代交代と光合成特性の変化

大型藻類の多くはその生活史において、染色体数が単相 (n) となる配偶体世代と複相 (2n) となる胞子体世代を持つ。この世代交代には大きく分けて 2 種類あり、配偶体・胞子体の両世代がほとんど同型同大になる同型世代交代型と、一方の世代が大型、もう一方の世代が微小な形態になる異型世代交代型の生活史が知られている。アマノリ類は異型世代交代型

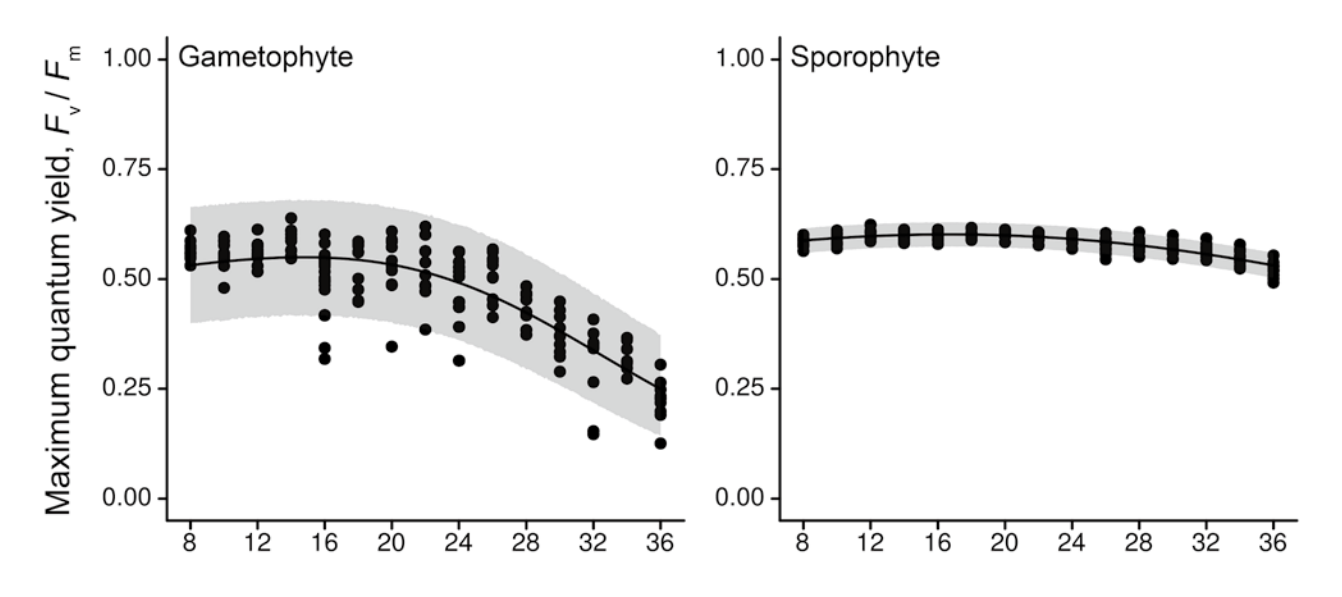


図 1. ナラワスサビノリ (Pyropia yezoensis f. narawaensis) の配偶体(左)と胞子体(右)の水温に対する F/Fm の変化。Watanabe et al. (2016) をもとに改訂。

の生活史を持っており、その形態は季節に応じて、大きく変化する。具体的に、秋季から冬季にかけては、巨視的な配偶体(葉状体)として岩場や貝殻上に生育し、春季から夏季にかけては微小な胞子体(コンコセリス)として、貝殻内等に穿孔生育する。そのため、一般的なアマノリ養殖では、カキ殻上に付着させた胞子体を陸上施設にて育成し、その後の養殖網への種付けを経て配偶体の海面養殖を行っている。

筆者らは、各世代の光合成特性の違いを最新の手法を用い て明らかにするため、アマノリ養殖で使用される、アサクサ / ') Pyropia tenera (Kjellman) Kikuchi, Miyata, Hwang et Choi とナラワスサビノリ Pyropia yezoensis f. narawaensis Kikuchi, Niwa et Nakada について、水温に対する F_v/F_mの 応答を測定した (Watanabe et al. 2014a, 2016)。この測定 では、アマノリ養殖にも使用されている株を佐賀県の研究機 関から提供していただき、配偶体と胞子体それぞれの光合成 活性を測定した。アマノリ類の光合成活性については、筆 者らは以前にもアサクサノリの天然個体について、光合成 に関する報告を行っていたが (渡邉ら 2013), Watanabe et al. (2014a, 2016) では、海面養殖を行っている配偶体に加 え, カキ殻上に生育させた胞子体についても新たに測定を試 みた。また、ナラワスサビノリについては、 $F_{\text{\tiny M}}/F_{\text{\tiny m}}$ だけでな く、DOメーターによる光合成速度についても、世代間での 違いを比較した。この測定により、配偶体の F_v/F_m は、アサ クサノリとナラワスサビノリの2種とも8~20℃までの低 水温に光合成の最大収率のピークを持つ右肩下がりの応答を 示した。一方、胞子体では、アサクサノリは 26℃ にピーク を持つ緩やかな曲線の応答を示し、ナラワスサビノリ(図1) は明瞭なピークを持たずほぼ横ばいの応答を示した。また, DOメーターを利用した光合成速度の測定についても、この 応答と概ね似た傾向を示していた。

異型世代交代型の生活史を持つ海藻が、配偶体世代と胞子体世代で異なる温度特性を持つことはこれまでも報告されてきており(Bolton & Lüning 1983, tom Dieck 1992, Gevaert et al. 2002),筆者らの扱ったアマノリ類については、微小な世代が高いストレス耐性を持つことで、夏季の高水温を生存していると推察される。この測定による結果は、過去の培養・成長試験によっても裏付けられており, F_{ν}/F_{m} によ

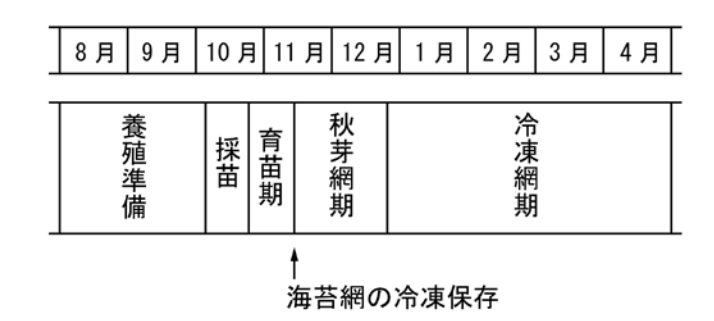


図2. 一般的な海苔養殖のスケジュール。育苗後の養殖網の一部は冷凍保存され、冷凍網期に解凍して養殖に使用される。

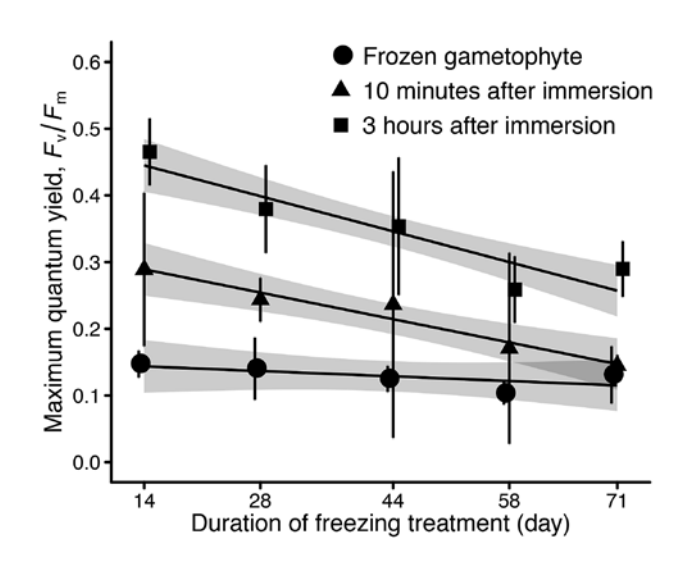


図3. 乾燥の後, 凍結保存 (-20°C) をしたナラワスサビノリ (*Pyropia yezoensis* f. *narawaensis*) 配偶体の F_{ν}/F_{m} の変化。測定は 2014 年 11 月 21 日から 2015 年 2 月 1 日まで行った。Watanabe *et al.* (2017) をもとに改訂。

る光合成特性の評価という点で、有用な知見を供することが できた。

乾燥, 凍結環境下での F_{ν}/F_{m} とその回復について

次に、筆者らは実際の海苔養殖の工程中の光合成活性の変 化についても研究を行った(Watanabe et al. 2017)。前述の ように、日本の海苔養殖の基礎技術は既に確立されており、 それを基に各地で広く養殖が行われている。地域によっても 異なるが、海苔養殖は図2のようなスケジュールによって行 われる。そして、その養殖中には、養殖網の冷凍保存や、潮 汐を利用した干出処理, 疫病対策の酸処理など, 様々な工程 が存在している。Watanabe et al. (2017) では、その冷凍 保存に着目し、その工程中の光合成活性の長期的な変化につ いて明らかにしたので、その内容を紹介する。まず、この養 殖網の冷凍保存が、具体的にどのようなものか説明をしたい。 海苔の養殖期には、秋季に採苗から育苗、摘採まで一連の養 殖を連続して行う秋芽(あきめ)網期と、冷凍保存をした網 を冬季に解凍して行う冷凍網期がある。この冷凍網期に使用 する養殖網は、秋季にまとめて育苗したものを、予備乾燥の のち冷凍保存したものが用いられる。そして,必要に応じて 解凍して養殖網の交換が行われ3~4月まで葉状体の養殖が 行われる。この冷凍保存方法の確立により, 天候や病気の蔓 延等による不漁のリスクを軽減することができる。

Watanabe et al. (2017) では、この間の光合成活性の変化に注目し、予備乾燥中、冷凍保存中、そして解凍後の光合成の最大収率の変化を、実際の養殖工程に準じてそれぞれ測定した。その結果、乾燥中の F_{γ}/F_{m} は網干し開始時から急速に低下し、乾燥終了時には0.1前後と非常に低い値を示すことが明らかになった。その後、冷凍中および解凍後の F_{γ}/F_{m}

 F_m をおよそ2週間毎に測定した(図3)。冷凍中の F_v/F_m は、 乾燥終了時の約0.1からほとんど変化しなかった。一方、10 分間および 3 時間の解凍後の F_{v}/F_{m} においては急速な回復が みられた。これは、乾燥により脱水されることで、細胞内に 氷晶が形成されにくくなり、光合成機能が維持された結果に よるものだと推察される。しかし、冷凍期間の長期化に伴い、 時間あたりの回復量は徐々に低下していくことから、長期間 の冷凍はその後の生長に影響を及ぼすことが示唆された。こ れらの結果は、生残率や培養試験などによる過去の報告とも 概ね一致していた (右田 1966)。また、ここには示していな いが、一般的な冷凍期間である1~2ヶ月間の冷凍を経たの ち、海面にて通常通り養殖を行った冷凍網の F_v/F_m は、秋芽 網とほとんど違いは見られず、冷凍による F_v/F_m への長期的 な影響は確認できなかった (Watanabe et al. 2017)。このた め、解凍直後の $F_{\rm v}/F_{\rm m}$ の回復は低下するものの、適切な冷凍 期間であれば、時間の経過で十分に回復することが明らかと なった。このように、実際の養殖工程中の光合成の最大収率 の変化を、具体的な数値で示すことができたことは、養殖藻 体の品質の統一や、冷凍保存中の品質管理など、養殖技術の 高度化に繋がる可能性がある。しかし, アマノリ養殖には他 にも様々な工程が存在することに加え, 天候等により毎年の 状況は変化する。筆者らの研究で扱ったのは、そのごく一部 のみであることから、今後もさらなる知見の集積が求められ ることは言うまでもない。

海外における PAM を利用したアマノリ類の研究

ここまで、筆者らが行ってきた研究を中心に紹介をしてき たが、最後に、国外での研究事例についても簡単に紹介した い。

ここまで紹介してきたナラワスサビノリは、日本と同様 に、中国や韓国においても養殖されているため、関連した 研究も度々報告されている (Wang et al. 2011, Xu et al. 2012)。その他にも、中国で主に食用・養殖される Pyropia haitanensis (Chang & Zheng) Kikuchi & Miyata に関して も関連した研究が報告されている (Gao et al. 2013, Jia et al. 2013)。例えば、Wang et al. (2011) は室内実験に基づ き、乾燥耐性と凍結耐性について報告している。この研究で は、中国の一部養殖場が直面する冬季の海水面の凍結による 影響に焦点を当て、水分量や凍結温度、凍結期間、解凍後の 回復などについて、光合成の最大収率の変化を測定している。 測定の結果,藻体を-2℃で24時間冷凍した場合,水分量 が少ないほど、 F_v/F_m は低下したが、-20℃ では、水分量に かかわらず F_v/F_m は大きく低下している。その一方で、1週 間の冷凍保存後に解凍した場合は,水分量の少ない藻体のほ うが F_v/F_m に顕著な回復が見られた。さらに、-2℃と比べ、 - 20°C のほうがより長期間の冷凍後も高い F_v/F_m を示すこ とも報告されている。そして、これらの測定で得られた結果 に基づき、海水面が凍結する前に、養殖網を乾燥させ-20℃ で冷凍保存し、海氷が溶けた後に再開する方法を提案してい る。

またその他にも、北大西洋沿岸の潮間帯に生育する Porphyra umbilicalis Kützing についても報告例がある (Green & Neefus 2014, 2016)。Po. umbilicalis は、食用と して利用もされるため、北西大西洋沿岸などで養殖への導入 が試みられている (Blouin 2007)。Green & Neefus (2016) では、生育に至適な環境を明らかにするため、温度や光条件 などの複合的な環境要因による様々な影響について報告して いる。報告では、Po. umbilicalis の配偶体を対象に水温、光量、 光周期を変化させ、その36通りの組み合わせについて、成 長速度、 F_v/F_m 、色素と蛋白含有量について測定を行ってい る。彼女らの測定の結果、 F_v/F_m については光周期が 12L: 12D もしくは 16L:8D の場合, 照射される光量の増加に伴 い、その値が低下することが明らかとされた。また、培養期 間が長くなるにつれ、 F_{ν}/F_{m} は低下する傾向があることも報 告されている。そして, このような光合成収率の低下は, 光 による損傷を防ぐための防御反応を反映したものではないか と推察し、今後のさらなる研究の必要性について言及してい

このように、産業が抱える問題の解決や、藻類の光合成を理解するための一つの手法として、PAM を利用した蛍光測定が、様々な種類、地域において試みられている。本稿では、アマノリ類への応用例に限定して紹介を行ったが、他の藻類に関しても様々な報告が行われている。今後の研究の進展にも期待したい。

引用文献

- Blouin, N., Xiugeng, F., Peng, J., Yarish, C. & Brawley, S. H. 2007. Seeding nets with neutral spores of the red alga *Porphyra umbilicalis* (L.) Kützing for use in integrated multi-trophic aquaculture (IMTA). Aquaculture 270: 77–91.
- Bolton, J. J. & Lüning, K. 1983. Optimal growth and maximal survival temperatures of Atlantic *Laminaria* species (Phaeophyta) in culture. Mar. Biol. 66: 89–94.
- Campbell, S., McKenzie, L. & Kerville, S. 2006. Photosynthetic responses of seven tropical seagrasses to elevated seawater temperature. J. Exp. Mar. Biol. Ecol. 330: 455–468.
- Dring, M. J. 1967. Effects of daylength on growth and reproduction of the conchocelis-phase of *Porphyra tenera*. J. Mar. Biol. Ass. U. K. 47: 501–510.
- Gao, S., Niu, J., Chen, W. et al. 2013. The physiological links of the increased photosystem II activity in moderately desiccated *Porphyra* haitanensis (Bangiales, Rhodophyta) to the cyclic electron flow during desiccation and re-hydration. Photosynth. Res. 116: 45–54.
- Gevaert, F., Creach, A., Davoult, D., Holl, A. C., Seuront, L. & Lemoine, Y. 2002. Photo-inhibition and seasonal photosynthetic performance of the seaweed *Laminaria saccharina* during a simulated tidal cycle: chlorophyll fluorescence measurements and pigment analysis. Plant Cell Environ. 25: 859–872.
- Green, L. A. & Neefus, C. D. 2014. The effect of short- and long-term freezing on *Porphyra umbilicalis* Kützing (Bangiales, Rhodophyta) blade viability. J. Exp. Mar. Bio. Eco. 461: 499–503.
- Green, L. A. & Neefus, C. D. 2016. Effects of temperature, light level, and photoperiod on the physiology of *Porphyra umbilicalis* Kützing from the Northwest Atlantic, a candidate for aquaculture. J. Appl. Phycol. 28:

- 1815-1826.
- Iwasaki, H. 1961. The life-cycle of *Porphyra tenera* in vitro. Biol. Bull. 120: 173–187.
- Jia, Z., Niu, J., Huan, L., Wu, X., Wang, G. & Hou, Z. 2013. Cyclophilin participates in responding to stress situations in Porphyra haitanensis (Bangiales, Rhodophyta). J. Phycol. 49: 194–201.
- 菊地則雄 2012. アマノリ. 渡邉信(編・監修)藻類ハンドブック. pp. 611-616,株式会社エヌ・ティー・エス,東京.
- 右田清治 1964. アマノリ葉体の生体凍結保存-1:海水中および半乾燥 状態で凍結保存したアサクサノリ葉体の生存能力について. 長崎大 学水産学部研究報告 17:44-54.
- 右田清治 1966. アマノリ葉体の生体凍結保存-2: 冷却速度と葉体含水量の耐凍性に及ぼす影響. 長崎大学水産学部研究報告 21: 131-138.
- Miura, A. 1988. Taxonomic studies of *Porphyra* species cultivated in Japan, referring to their transition to the cultivated variety. J. Tokyo Univ. Fish. 75: 311–325.
- 村瀬昇・前川行幸・松井敏夫・大貝政治・片山舒康・齋藤宗勝・横浜康 継 1993. アナアオサの不稔性変異株の生長と光合成 – 温度特性. 日 本水産学会誌 60: 625-630.
- Satomi, M., Aruga, Y. & Iwamoto, K. 1968. Effect of aging on the seasonal change in photosynthetic activity of Porphyra yezoensis grown in the culture ground. Bull. Japan. Soc. Sci. Fish. 34: 17–22.
- 芹澤如比古・高木裕行・倉島彰・横浜康継 2001. 伊豆半島南部,下田市 鍋田湾における海水の硝酸態窒素濃度と褐藻カジメの光合成活性の 季節変化,日本水産学会誌 67: 1065-1071.
- 園池公毅 2009. クロロフィル蛍光と吸収による光合成測定. 低温科学 67: 507-524.
- tom Dieck, I. 1992. North Pacific and North Atlantic digitate *Laminaria* species (Phaeophyta): hybridization experiments and temperature responses. Phycologia 31: 147–163.
- Wang, W. J., Wang, F. J., Zhu, J. Y., Sun, X. T., Yao, C. Y. & Xu, P. 2011. Freezing tolerance of *Porphyra yezoensis* (Bangiales, Rhodophyta)

- gametophyte assessed by chlorophyll fluorescence. J. Appl. Phycol. 23: 1017–1022.
- 渡邉裕基・Gregory N. Nishihara・寺田竜太 2013. 熊本産アサクサノリ 天然配偶体の光合成に対する光と温度の影響. 藻類 61: 141–148.
- Watanabe, Y., Morikawa, T., Mine, T., Kawamura, Y., Nishihara, G. N. & Terada, R. 2017. Chronological change and the potential of recovery on the photosynthetic efficiency of *Pyropia yezoensis* f. *narawaensis* (Bangiales) during the sporelings frozen storage treatment in the Japanese Nori cultivation. Phycol. Res. 65: 265–271.
- Watanabe, Y., Nishihara, G. N., Tokunaga, S. & Terada, R. 2014a. Effect of irradiance and temperature on the photosynthesis of a cultivated red alga, *Pyropia tenera* (= *Porphyra tenera*), at the southern limit of distribution in Japan. Phycol. Res. 62: 187–196.
- Watanabe, Y., Nishihara, G. N., Tokunaga, S. & Terada, R. 2014b. The effect of irradiance and temperature responses and the phenology of a native alga, *Undaria pinnatifida* (Laminariales), at the southern limit of its natural distribution in Japan. J. Appl. Phycol. 26: 2405–2415.
- Watanabe, Y., Yamada, H., Mine, T., Kawamura, Y., Nishihara, G. N. & Terada, R. 2016. Photosynthetic responses of *Pyropia yezoensis* f. narawaensis (Bangiales, Rhodophyta) to a thermal and PAR gradient vary with the life-history stage. Phycologia 55: 665–672.
- Winters, G., Loya, Y., Röttger, R. & Beer, S. 2003. Photoinhibition in shallow-water colonies of the coral *Stylophora pistillata* as measured in situ. Limnol. Oceanogr. 48: 1388–1393.
- Xu, D., Qiao, H., Zhu, J., Xu, P., Liang, C., Zhang, X., Ye, N. & Yang, W. 2012. Assessment of photosynthetic performance of *Porphyra yezoensis* (Bangiales, Rhodophyta) in conchocelis phase. J. Phycol. 48: 467–470.
- 横浜康継・前川行幸 1988、プロダクトメーター(差働式検容計)による 大型試料の光合成および呼吸測定、藻類 36: 29–36.

(神戸大学内海域環境教育研究センター)